

## **Раманов анализ на новосинтезирани ароилхидразони – връзка между структурата и антиоксидантната активност**

**В. Хаджимитова<sup>1</sup>, Н. Христова-Авакумова<sup>1</sup>, Л. Атанасова<sup>1</sup>,  
Е. Вълчева<sup>2</sup>**

<sup>1</sup>Катедра медицинска физика и биофизика, Медицински факултет,  
Медицински Университет – София

<sup>2</sup>Физически факултет, СУ “Св. Климент Охридски”

**Abstract.** The goal of this study is to find a connection between the raman spectra and the antioxidant activity (AOA) of four newly synthesized hydrazones (a class of organic compounds with multifaceted biological properties). The compounds differ only by the kind of substitution in the aldehyde ring of the base compound - salicylaldehydearoylhydrazones. The result was two methoxy derivatives and one bromine derivatives.

These compounds together with the base were tested for AOA in three different ways, showing aspects of its behavior systems with stable radicals: ABTS and DPPH and iron-induced lipid peroxidation in egg yolk homogenate. Furthermore readings of the ramam spectra were taken of the four compounds in solid phase.

After a comparison of the raman spectra of the four compounds it was determined that the addition of a methoxy group leads to a displacement of the peak at  $1160\text{ cm}^{-1}$ , where the expected vibrations are  $\nu(\text{O}-\text{OH})$  and  $\delta(\text{O}-\text{H})$ . A linear dependency was established between the spectrum region and the size of the AOA methoxy derivatives.

### **1 Увод**

Разработването на нови лекарствени вещества е непрекъснат процес, като основните научни подходи са синтезиране на нови съединения, притежаващи желаните фармакологични свойства, или подобряване на структурата на вещества с доказан лечебни ефект с цел да се оптимизира тяхната биологична активност и/или намалят страничните нежелани ефекти.

При изследване на връзката структура-биологични ефекти информацията за вибрационните трептения на молекулите е елемент от цялостното проучване на структурата на веществата. Информацията, която може да се получи от ИЧ и Рамановите спектри на ве-

*В. Хаджимитова, Н. Христова-Авакумова, Л. Атанасова, Е. Вълчева*

ществата, позволява да се оптимизира структурата на лекарствените субстанции. Един от възможните подходи при търсене на връзката структура-активност е да се изследват по отделно вибрационните спектри на веществата и тяхното поведение в биологично релевантни системи, след което да се изследва възможността за наличие на зависимост между промени в вибрационните енергии на молекулите и техните биологични активности [1].

Хидразоните са група органични съединения, известни с изключителната си широкоспектърност по отношение на проявената биологична активност. В своите различни модификации те проявяват: анти микробна, аналгетична, противовъзпалителна, антиоксидантна и др. активности [2, 3].

Установено е, че изявата на едни или други биологично значими свойства се свързва с присъствието на различни по структура и местоположение заместители в молекулите на новосинтезираните хидразони [3].

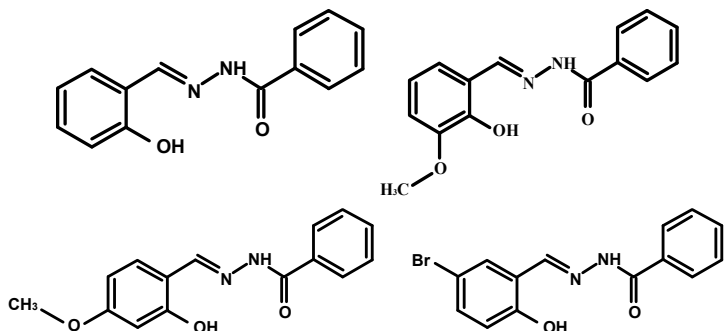
Изследваните от нас хидразони са производни на SBH, който е базисно съединени при търсене на вещества хелатори на желязото. Съществуват редица болестни състояния, свързани с нарушения или отклонения в обмена на желязото в човешкия организъм [4], напр. болестта на Паркинсон [5]. Известните към момента медикаменти, използвани за хелиращата терапия при пациенти с желязно свръхнатоварване, са малко. Основните проблеми при одобрението на новите лекарствени вещества са свързани с нежеланите им странични ефекти.

Ключов етап от предклиничните изследвания на новосинтезирани субстанции е проучването на способността им да повлияват свободнорадикалните процеси в човешкото тяло чрез използването на моделни, биологично релевантни *in vitro* и *in vivo* системи и определяне на база получените данни на възможността за приложението им при повлияване на антиоксидантния статус на пациентите, които биха ги употребявали.

Целта на настоящото проучване е да се потърси връзка между рамановите спектри на новосинтезирани производни на SBH и техните антиоксидантни свойства.

Настоящото проучване включва освен базисното съединение салицилалдехидбензоилхидразон (SBH), две негови метокси-производни и една бромна модификация. Така бяха получени: 3-метоксисалицил алдехидбензоилхидразон (3mSBH), 4-метокси-салицилалдехидбензоилхидразон (4mSBH) и 5-бромсалицилалдехидбензоилхидразон (5BrSBH) (Фиг. 1).

## *Раманов анализ на новосинтезирани ароилхидразони ...*



Фиг. 1: Химическа структура на изследваните хидразони.

Те са синтезирани и физико-химично охарактеризирани от група от Фармацевтичния факултет на МУ-София [6–9]. Техните антиоксидантни свойства бяха изследвани в системи със стабилните радиали: ABTS и DPPH; и желязо-индукрирана липидна пероксидация в желъчен хомогенат (TBARS). Паралелно бяха снети рамановите спектри на четирите вещества в твърда фаза.

## **2 Методи**

### *Получаване на раманови спектри*

Рамановата спектроскопия е много ефикасен безразрушителен метод за изследване на вибрационните честоти, специфични за химичните връзки и симетрията на молекулите. Чрез него могат да бъдат идентифицирани химичните връзки, както и промяна в тях. Възможно е да се проведе структурно характеризиране, тъй като вибрационните свойства корелират с конформационните характеристики.

Спектри на Раманово разсейване от изследваните вещества бяха измерени с микро-Раманов спектрометър LabRAM HR800 при възбудждане с лазерно лъчение с дължина на вълната 632 nm при стайна температура. Лазерният лъч беше фокусиран върху веществото в твърда фаза през микроскоп с обектив с увеличение  $\times 50$ . Разделителната способност по честота е  $1 \text{ cm}^{-1}$ .

### *Антиоксидантна активност (AOA)*

*ABTS метод* — изследванията бяха проведени съгласно Re et al. [10]. Към 2 ml от  $\text{ABTS}^{+}\bullet$  радикала бяха добавени различни концентрации от изследваните структурни аналоги. Пробите бяха инкубиирани в продължение на 60 min при стайна температура, след което екстинкцията им беше измерена при 734 nm.

*В. Хаджимитова, Н. Христова-Авакумова, Л. Атанасова, Е. Вълчева*

За оценка на АOA беше използвана величината С-50. С-50 е концентрацията на веществото, което намалява количеството радикали на половина спрямо изходното. За изчисляването на тази стойност беше използван аналитичният вид на зависимостта на екстинкцията при 734 nm от концентрацията.

*DPPH метод* – методът беше проведен съгласно Group et al. [11]. Към 2 ml от изходен разтвор на DPPH<sup>•</sup> радикала бяха добавени изследваните хидразони в концентрации 0.09 mmol/L. Пробите бяха инкубираны в продължение на 60 min при стайна температура, след което екстинкцията им беше измерена при 517 nm. Получените резултати са представени като процент от контрола (пробата, в която няма хидразонни).

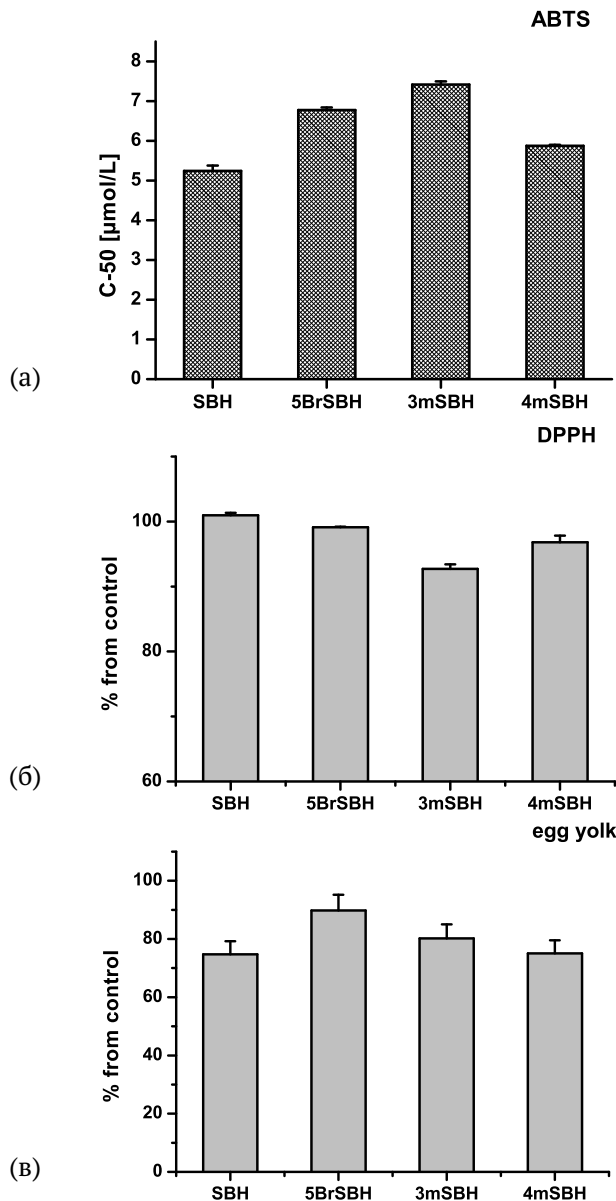
*Желязо-индукцирано окисление на жълтъчен хомогенат* [12] – Определянето на нивото на Fe-индукцирана ЛП е осъществено със система, съдържаща жълтъчен хомогенат. В 1 ml хомогенат (разреден v/v 1:100) бяха добавени хидразоните в концентрациите, показани на съответната фигура. Реакцията беше стартирана с 50  $\mu$ L FeCl<sub>2</sub> с крайна концентрация 0.1 mmol/L. Пробите бяха инкубираны в продължение на 30 min при температура 37°C. След това към всяка проба бяха добавени 0.5 ml 2.8% разтвор на трихлороцетна киселина и 0.5 ml 1% разтвор на тиобарбитурова киселина (ТБК). След повторна инкубация при 100°C в продължение на 20 min пробите бяха центрофугирани и екстинкцията на супернатантата беше измерена при 532 nm. Получените резултати са представени като процент от контрола.

### **3 Резултати и дискусия**

Резултатите, получени за АOA, са показани на Фиг. 2. На Фиг. 2a и 2b са показани данните, получени чрез методите, основаващи се на стабилни свободни радикали, чрез които се измерва тоталната антиоксидантна активност (TAOA). Двата метода са взаимодопълващи се, тъй като оценяват различни страни на антиоксидантните свойства на веществата. В системата с ABTS радикали веществата показваха голяма активност, затова резултатите са представени чрез стойностите на С-50 (Фиг. 2a).

Като сравниме антиоксидантните свойства на четирите хидразони в системата с ABTS, установихме, че те са най-добре изразени за SBH и АOA на съединенията намалява в реда SBH > 4mSBH > 5BrSBH > 3mSBH.

В системата с DPPH радикали тестваните хидразони показвах относително слаба активност и затова резултатите са представени само



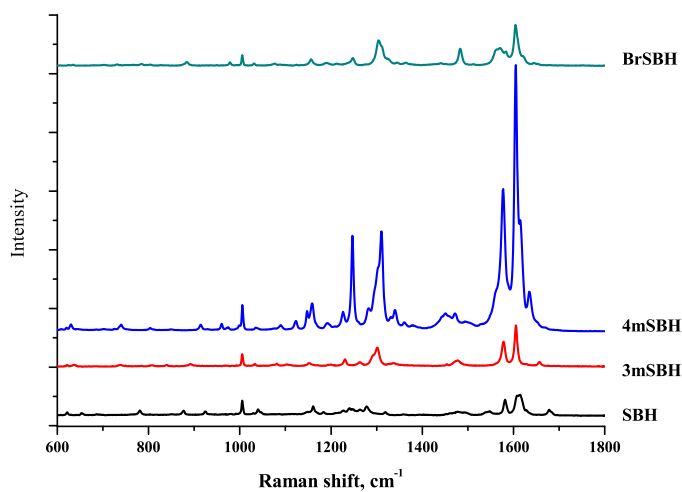
Фиг. 2: Антиоксидантна активност на тестваните хидразони в различни моделни системи: (а) ABTS; (б) DPPH; и (в) жълтъчен хомогенат.

за най-високата концентрация – 0.09 mmol/L (Фиг. 2б). Ефектът е най-слаб за SBH < 5BrSBH < 4mSBH < 3mSBH. На Фиг. 2в са показани резултати, получени от антиоксидантното действие на хидразоните в системата на желязо-индуцирано окисление на жълтъчен хомогенат, определени на база получените ТБК-продукти. От тях се вижда, че хидразоните проявяват значителна АOA в тази моделна система, която е близка по състав до биологичните системи. Най-добри антиоксидантни свойства проявява SBH > 4mSBH > 3mSBH > 5BrSBH.

Сравнявайки АOA на метокси-производните, беше установена еднопосочност в промяната на ABTS радикалите и ТБК-продуктите – SBH > 4mSBH > 3mSBH, а редът в DPPH системата е обратен. Поведението на 5BrSBH е различно с различните системи. От направените експерименти по-добри антиоксидантни свойства има модификацията, в която метокси-заместителят в алдехидното ядро на SBH е на четвърта позиция – 4mSBH.

Рамановите спектри на веществата, снети в твърда фаза и стайна температура, са показани на Фиг. 3. При направения анализ спектърт условно беше разделен на няколко области от честоти. Най-интензивните ивици се наблюдават около  $1600\text{ cm}^{-1}$ , следващите по интензивност са ивиците около  $1300\text{ cm}^{-1}$  и типична за всички спекtri е тясната ивица около  $1000\text{ cm}^{-1}$ .

Ивиците, наблюдавани около  $1600\text{ cm}^{-1}$ , се дължат на трептенията на двете ядра модове  $\nu_{8a}$  и  $\nu_{8b}$  [13]. Първият  $\nu_{8a}$  се намира близо до  $1600\text{ cm}^{-1}$ , вторият мод  $\nu_{8b}$  е при по-ниската честота и е с по-слаб интензитет [13].



Фиг. 3: Раманови спектри на тестваните хидразони.

## *Раманов анализ на новосинтезирани ароилхидразони ...*

При по-високите честоти в дясното от двета пика се наблюдава много по-слаба по интензитет ивица, която е свързана с  $\nu(\text{C=O})$ . Нейната позиция се променя в спектрите на различните хидразони [14].

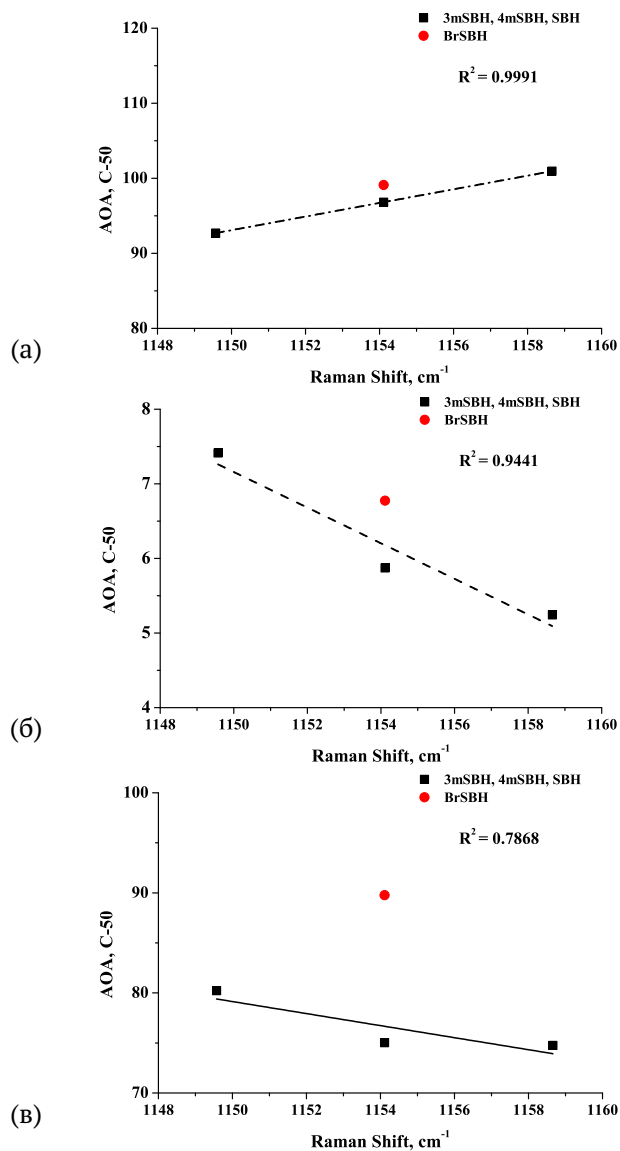
При всички хидразони се появява тясна ивица около  $1000 \text{ cm}^{-1}$ , която се свързва с  $\nu(12)$  деформации на въглеродните атоми в равнината на пръстена. Тези трептения са активни в рамановия спектър само ако има замествания в бензеновото ядро [13]. Те се наблюдават при всички тествани вещества, като позицията на пика не се влияе нито от типа на заместване, нито от позицията на групата.

Според литературните данни трептенията, които касаят хидроксилната група и връзката ѝ с ядрото са разположени около  $1300 \text{ cm}^{-1}$  [14], като варират между отделните източници от  $1025 \text{ cm}^{-1}$  [15];  $1170 \text{ cm}^{-1}$  [16];  $\nu(\text{C-O}) - 1290 \text{ cm}^{-1}$  [17]. Трептенията, свързани с деформации на огъване в областта  $1100-1400 \text{ cm}^{-1}$  [16]; Фенол-О разтягане около  $1200 \text{ cm}^{-1}$  [18].

Тъй като АOA на вещества с циклични структури се определя от наличието на хидроксилни групи и техния брой, нашето внимание бе насочено в областта, където се появяват трептенията, свързани с OH групата.

След сравняване на рамановите спектри на четирите вещества бяха потърсени области от честоти, които да корелират с АOA. Установихме, че добавянето на метокси група води до отместяване на пика около  $1160 \text{ cm}^{-1}$  (SBH), където се очакват трептенията  $\nu(\text{F-OH})$  и  $\delta(\text{O-H})$ . В рамановия спектър трептенето, свързано с OH групата, е с по-слаб интензитет, отколкото в ИЧ спектър [13], затова и използвани ивици не са много интензивни.

Отместяването е към по-ниските честоти последователно при смяна на позицията с постоянна стъпка от  $5 \text{ cm}^{-1}$  (Фиг. 4). Бе установена линейна зависимост между позицията на пика и големината на АOA на хидразоните с метокси заместване. Най-добра е корелацията при DPPH ( $R^2 = 0.99$ ) метода, а най-слаба за ТБК метода ( $R^2 = 0.79$ ). Максимумът на ивицата на  $5\text{BrSBH}$  е близка до тази на  $4\text{mSBH}$ , въпреки че бромът води до по-силно преразпределение на електронната плътност в ядрото, към което е присъединен. Позицията на пика за  $5\text{BrSBH}$  донякъде корелира с демонстрираната от веществото АOA в системите с DPPH и ABTS, която е по-малка от тази на  $4\text{mSBH}$ , но близка по стойност. В системата с жълтъчен хомогенат такава корелация не се наблюдава – там показаната АOA е много по-малка за бром съдържащото съединение, отколкото за останалите хидразони. Тази система е много по-сложна, тъй като процесът на окисление преминава през множество етапи, в които веществото може да прояви антиоксидантните си свойства. Така по-слабата способност



Фиг. 4: Връзка структура–антиоксидантна активност.

за намаляване на радикалите води до по-силно изразена разлика в отчетената АOA в по-сложната система.

В заключение може да се предположи, че от предложените модификации наличието на метокси групата на 4-та позиция е съпроводено

## *Раманов анализ на новосинтезирани ароилхидразони ...*

с по-добри АОС в тестваните системи и това съответства на преместване към по-високите честоти на ивицата, която се свързва с трептене на С-О във фенолното ядро. При метокси производните миграцията на максимума на тази ивица корелира с антиоксидантната активност на тези производни, като по-висока честота е свързана с по-висока АOA. Заместването в същото ядро с бром корелира слабо при прости системи, но няма връзка между тази модификация на SBH молекулата и енергията, с която се свързва тази ивица.

### **Литература**

- [1] D.E. Pivonka, I. Noda (2007) in: *Applications of Vibrational Spectroscopy in Pharmaceutical Research and Development*. Edited by Don E. Pivonka, John M. Chalmers and Peter R. Griffiths. John Wiley & Sons, Ltd, p. 4082.
- [2] B.Y. Suman Bala *et al.* (2013) *Int J Pharm Sci Rev Res* **18** 65.
- [3] G. Verma *et al.* (2014) *J. Pharm. Bioallied Sci.* **6** 69.
- [4] P.V. Bernhardt *et al.* (2007) *Dalton Trans* **30** 3232.
- [5] C.A. Perez, Y. Tong, M. Guo (2008) *Curr Bioact Comp* **4** 150.
- [6] B. Nikolova-Mladenova, *et al.* (2011) *Arzneimittel-forsch/Drug res* **61** 714
- [7] B. Nikolova-Mladenova, G. Momekov, D. Ivanov (2011) *Pharmacia* **LVIII** 41.
- [8] N. Halachev *et al.* (2007) *Annual Assen Zlatarov University* **XXXVI** 44.
- [9] N. Halachev *et al.* (2007) *Annual Assen Zlatarov University* **XXXVI** 52.
- [10] R. Re *et al.* (1999) *Free Rad. Biol. Med.* 1231.
- [11] P. Goupy *et al.* (2003) *J. Agric. Food Chem.* 615.
- [12] P. Bird, H. Draper (1984) *Methods Enzymol.* 299.
- [13] D.W. Mayo, F.A. Miller, R.W. Hannah (2004) ISBN: 978-0-471-24823-1 600
- [14] C. Colonna, J.P. Doucet, A. Cossé-Barbi (1995) *Trans. Met Chem.* **20** 338.
- [15] X. Lu *et al.* (2011) *Food Chem.* **129** 637.
- [16] R. Calheiros *et al.* (2008) *J. Raman Spec.* **39** 95.
- [17] A. Ertani *et al.* (2016) *Molecules* **8** 21.
- [18] J. Coates (2011) in: *Encyclopedia of Analytical Chemistry* eds R.A. Meyers Wiley & Sons Ltd, Chichester, p. 2188.